



Министерство науки и высшего образования Российской Федерации
федеральное государственное бюджетное образовательное учреждение
высшего профессионального образования
«Московский государственный технический университет имени
Н.Э. Баумана (национальный исследовательский университет)»
(МГТУ им. Н.Э. Баумана)

ФАКУЛЬТЕТ «Робототехника и комплексная автоматизация»
КАФЕДРА «Системы автоматизированного проектирования (РК-6)»

ОТЧЕТ О ВЫПОЛНЕНИИ ЛАБОРАТОРНОЙ РАБОТЫ по дисциплине «Модели и методы анализа проектных решений»

Студент:	Гаспарян Грета Андраниковна
Группа:	РК6-736
Тип задания:	Лабораторная работа
Название:	Метод конечных элементов
Вариант:	49

Студент

подпись, дата

Гаспарян Г.А.

Фамилия, И.О.

Преподаватель

подпись, дата

Трудоношин В. А.

Фамилия, И.О.

Оценка:

Москва, 2022

Содержание

Метод конечных элементов	3
1 Цель выполнения лабораторной работы	3
2 Задание	3
3 Аналитическое решение	4
4 Получение локальных матрицы жесткости и вектора нагрузок	4
Линейная функция-формы КЭ	5
Кубическая функция-формы КЭ	5
5 Получение глобальных матрицы жесткости и вектора нагрузок	7
Ансамблирование	7
Учет граничных условий	8
6 Анализ результатов	8
Линейная функция-формы	8
Кубическая функция-формы	11
Нахождение количества линейных КЭ, обеспечивающих ту же точность, что и 20 кубических	14
7 Код	14
8 Вывод	21

Метод конечных элементов

1 Цель выполнения лабораторной работы

Цель выполнения лабораторной работы – решение дифференциального уравнения методом конечных элементов (МКЭ), используя линейную и кубическую функции формы, и анализ точности относительно аналитического способа решения

2 Задание

Решить с помощью МКЭ уравнение 1

$$40 \frac{d^2 u}{dx^2} - 4u + 11 = 0, \quad (1)$$

при следующих граничных условиях (г. у.):

$$u'(x = 0) = -2, \quad (2)$$

$$u(x = 17) = 6. \quad (3)$$

Количество конечных элементов

- для первого расчета – 20,
- для второго – 40.

Также необходимо:

1. Сравнить результаты с аналитическим решением. Оценить максимальную погрешность.
2. Определить количество линейных КЭ, обеспечивающих такую же точность как и кубические.

3 Аналитическое решение

На рисунке 1 представлено аналитическое решение поставленной задачи.

The screenshot shows the Wolfram Language interface with the input $40y''-4y+11=0, y'(0)=-2, y(17)=6$. The interface displays the following information:

- Input:** $\{40 y''(x) - 4 y(x) + 11 = 0, y'(0) = -2, y(17) = 6\}$
- Autonomous equation:** $40 y''(x) = -11 + 4 y(x)$
- ODE classification:** second-order linear ordinary differential equation
- Alternate forms:**
 - $\{4 y(x) = 40 y''(x) + 11, y'(0) = -2, y(17) = 6\}$
 - $\{y''(x) = \frac{y(x)}{10} - \frac{11}{40}, y'(0) = -2, y(17) = 6\}$
- Differential equation solution:**
 - Buttons: [Approximate form](#), [Step-by-step solution](#)
 - Solution:
$$y(x) = \frac{1}{4 \left(1 + e^{17\sqrt{2/5}}\right)} e^{-x/\sqrt{10}} \left(-8\sqrt{10} e^{\sqrt{2/5} x} + 11 e^{x/\sqrt{10}} + 11 e^{(x+34)/\sqrt{10}} + 13 e^{(2x+17)/\sqrt{10}} + 8\sqrt{10} e^{17\sqrt{2/5}} + 13 e^{17/\sqrt{10}}\right)$$
- Download Page button
- POWERED BY THE WOLFRAM LANGUAGE

Рис. 1. Аналитическое решение

Таким образом, получаем:

$$u(x) = \frac{e^{-x/\sqrt{10}} \left(-8\sqrt{10} e^{\sqrt{2/5} x} + 11 e^{x/\sqrt{10}} + 11 e^{(x+34)/\sqrt{10}} + 13 e^{(2x+17)/\sqrt{10}} + 8\sqrt{10} e^{17\sqrt{2/5}} + 13 e^{17/\sqrt{10}}\right)}{4 \left(1 + e^{17\sqrt{2/5}}\right)}.$$

4 Получение локальных матрицы жесткости и вектора нагрузок

Составим локальные матрицу жесткости и вектор нагрузок для уравнения 1.

Линейная функция-формы КЭ

$$\mathbf{u} = \left[\left(1 - \frac{x}{L}\right); \quad \frac{x}{L} \right] \begin{bmatrix} u_i \\ u_j \end{bmatrix} = \mathbf{N}_e \mathbf{U},$$

где \mathbf{N}_e – вектор функции формы конечного элемента (в данном случае линейной), его составляющие элементы – глобальные базисные функции, отличные от нуля в пределах этого элемента, L – длина КЭ.

В соответствии с методом Галеркина для уравнения 1:

$$\int_0^L \mathbf{W}_e \left(40 \frac{d^2 \mathbf{u}}{dx^2} \frac{d\mathbf{u}}{dx} - 4u + 11 \right) dx = 0, \quad (4)$$

где $\mathbf{W}_e = \mathbf{N}_e^T$.

$$\int_0^L \mathbf{W}_e \left(40 \frac{d^2 \mathbf{u}}{dx^2} \frac{d\mathbf{u}}{dx} - 4u + 11 \right) dx = 40 \int_0^L \mathbf{W}_e \frac{d^2 \mathbf{u}}{dx^2} dx - 4 \int_0^L \mathbf{W}_e u dx + 11 \int_0^L \mathbf{W}_e dx = 0$$

Распишем каждое слагаемое отдельно:

$$\begin{aligned} 40 \int_0^L \mathbf{W}_e \frac{d^2 \mathbf{u}}{dx^2} dx &= 40 \int_0^L \left[\left(1 - \frac{x}{L}\right) \right] \frac{d^2 \mathbf{u}}{dx^2} dx = 40 \left[\left(1 - \frac{x}{L}\right) \right] \frac{d\mathbf{u}}{dx} \Big|_0^L - \\ &- 40 \int_0^L \frac{d}{dx} \left[\left(1 - \frac{x}{L}\right) \right] \frac{d}{dx} \left[\left(1 - \frac{x}{L}\right); \quad \frac{x}{L} \right] \begin{bmatrix} u_i \\ u_j \end{bmatrix} = \begin{bmatrix} -40 \frac{d\mathbf{u}}{dx} \Big|_i \\ 40 \frac{d\mathbf{u}}{dx} \Big|_j \end{bmatrix} - 40 \begin{bmatrix} \frac{1}{L}, & -\frac{1}{L} \\ -\frac{1}{L}, & \frac{1}{L} \end{bmatrix} \begin{bmatrix} u_i \\ u_j \end{bmatrix} \\ -4 \int_0^L \mathbf{W}_e u dx &= -4 \int_0^L \begin{bmatrix} \left(1 - \frac{x}{L}\right) \\ \frac{x}{L} \end{bmatrix} \mathbf{u} \begin{bmatrix} u_i \\ u_j \end{bmatrix} dx = -4 \begin{bmatrix} \frac{L}{3}, & \frac{L}{6} \\ \frac{L}{6}, & \frac{L}{3} \end{bmatrix} \begin{bmatrix} u_i \\ u_j \end{bmatrix} \\ 11 \int_0^L \mathbf{W}_e dx &= 11 \begin{bmatrix} \frac{L}{2} \\ \frac{L}{2} \end{bmatrix} \end{aligned}$$

Таким образом, для уравнения 4, при использовании линейной функции-формы, получаем (матмодель линейного КЭ):

$$\begin{bmatrix} 40 \frac{1}{L} - 4 \frac{L}{3}, & -40 \frac{1}{L} - 4 \frac{L}{6} \\ -40 \frac{1}{L} - 4 \frac{L}{6}, & 40 \frac{1}{L} - 4 \frac{L}{3} \end{bmatrix} \begin{bmatrix} u_i \\ u_j \end{bmatrix} = \begin{bmatrix} -40 \frac{du}{dx} \Big|_i + 11 \frac{L}{2} \\ 40 \frac{du}{dx} \Big|_j + 11 \frac{L}{2} \end{bmatrix}$$

Кубическая функция-формы КЭ

$$\mathbf{u} = \left[-\frac{9x^3}{2L^3} + \frac{18x^2}{2L^2} - \frac{11x}{2L} + 1; \frac{27x^3}{2L^3} - \frac{45x^2}{2L^2} + \frac{9x}{L}; -\frac{27x^3}{2L^3} + \frac{36x^2}{2L^2} - \frac{9x}{2L}; \frac{9x^3}{2L^3} - \frac{9x^2}{2L^2} - \frac{x}{L}; \right] \begin{bmatrix} u_i \\ u_j \\ u_k \\ u_l \end{bmatrix} = \mathbf{N}_e \mathbf{U},$$

Как и для линейной функции-формы применим метод Галеркина (см. уравнение 4) и рассмотрим каждое слагаемое отдельно.

$$\begin{aligned}
40 \int_0^L \mathbf{W}_e \frac{d^2 \mathbf{u}}{dx^2} dx &= 40 \int_0^L \begin{bmatrix} -\frac{9x^3}{2L^3} + \frac{18x^2}{2L^2} - \frac{11x}{2L} + 1 \\ \frac{27x^3}{2L^3} - \frac{45x^2}{2L^2} + \frac{9x}{L} \\ -\frac{27x^3}{2L^3} + \frac{36x^2}{2L^2} - \frac{9x}{2L} \\ \frac{9x^3}{2L^3} - \frac{9x^2}{2L^2} - \frac{x}{L} \end{bmatrix} \frac{d^2 \mathbf{u}}{dx^2} dx = \\
&= 40 \begin{bmatrix} -\frac{9x^3}{2L^3} + \frac{18x^2}{2L^2} - \frac{11x}{2L} + 1 \\ \frac{27x^3}{2L^3} - \frac{45x^2}{2L^2} + \frac{9x}{L} \\ -\frac{27x^3}{2L^3} + \frac{36x^2}{2L^2} - \frac{9x}{2L} \\ \frac{9x^3}{2L^3} - \frac{9x^2}{2L^2} - \frac{x}{L} \end{bmatrix} \frac{d\mathbf{u}}{dx} \Big|_0^L - 40 \int_0^L \frac{d}{dx} \begin{bmatrix} -\frac{9x^3}{2L^3} + \frac{18x^2}{2L^2} - \frac{11x}{2L} + 1 \\ \frac{27x^3}{2L^3} - \frac{45x^2}{2L^2} + \frac{9x}{L} \\ -\frac{27x^3}{2L^3} + \frac{36x^2}{2L^2} - \frac{9x}{2L} \\ \frac{9x^3}{2L^3} - \frac{9x^2}{2L^2} - \frac{x}{L} \end{bmatrix} \frac{d}{dx} \mathbf{u} = \\
&= \begin{bmatrix} -40 \frac{d\mathbf{u}}{dx} \Big|_i \\ 0 \\ 0 \\ 40 \frac{d\mathbf{u}}{dx} \Big|_l \end{bmatrix} - 40 \begin{bmatrix} \frac{37}{10L} & -\frac{189}{40} & \frac{27}{20L} & -\frac{13}{40L} \\ -\frac{189}{40} & \frac{5L}{27} & -\frac{40L}{297} & \frac{20L}{27} \\ \frac{27}{20L} & -\frac{40L}{297} & \frac{5L}{54} & -\frac{189}{40} \\ -\frac{13}{40L} & \frac{20L}{27} & -\frac{189}{40} & \frac{37}{10L} \end{bmatrix} \begin{bmatrix} u_i \\ u_j \\ u_k \\ u_l \end{bmatrix} \\
-4 \int_0^L \mathbf{W}_e \mathbf{u} dx &= -4 \int_0^L \begin{bmatrix} -\frac{9x^3}{2L^3} + \frac{18x^2}{2L^2} - \frac{11x}{2L} + 1 \\ \frac{27x^3}{2L^3} - \frac{45x^2}{2L^2} + \frac{9x}{L} \\ -\frac{27x^3}{2L^3} + \frac{36x^2}{2L^2} - \frac{9x}{2L} \\ \frac{9x^3}{2L^3} - \frac{9x^2}{2L^2} - \frac{x}{L} \end{bmatrix} \mathbf{u} dx = \\
&= -4 \begin{bmatrix} \frac{8L}{105} & \frac{33L}{27L} & -\frac{3L}{140} & \frac{119L}{1680} \\ -\frac{140}{3L} & -\frac{560}{27L} & \frac{170}{27L} & -\frac{140}{33L} \\ \frac{19L}{1680} & -\frac{3L}{140} & \frac{33L}{560} & \frac{8L}{105} \end{bmatrix} \begin{bmatrix} u_i \\ u_j \\ u_k \\ u_l \end{bmatrix} \\
11 \int_0^L \mathbf{W}_e dx &= 11 \begin{bmatrix} \frac{L}{8} \\ \frac{3L}{8} \\ \frac{3L}{8} \\ \frac{L}{8} \end{bmatrix}
\end{aligned}$$

Таким образом, для уравнения 4, при использовании кубической функции-формы, получаем:

$$\begin{bmatrix} 40\frac{37}{10L} - 4\frac{8L}{105} & -40\frac{189}{40L} - 4\frac{33L}{560} & 40\frac{27}{20L} + 4\frac{3L}{140} & -40\frac{13}{40L} - 4\frac{119L}{1680} \\ -40\frac{189}{40L} - 4\frac{33L}{560} & 40\frac{54}{5L} + 0 - 4\frac{27L}{170} & -40\frac{297}{40L} + 4\frac{27L}{560} & 40\frac{27}{20L} + 4\frac{27L}{560} \\ 40\frac{27}{20L} + 4\frac{27L}{560} & -40\frac{297}{40L} + 4\frac{27L}{560} & 40\frac{54}{5L} + 0 - 4\frac{27L}{170} & -40\frac{189}{40L} - 4\frac{33L}{560} \\ -40\frac{13}{40L} - 4\frac{19L}{1680} & 40\frac{27}{20L}\frac{3}{10} - 4\frac{3L}{140} & -40\frac{189}{40L} - 4\frac{33L}{560} & 40\frac{37}{10L} - 4\frac{8L}{105} \end{bmatrix}.$$

$$\begin{bmatrix} u_i \\ u_j \\ u_k \\ u_l \end{bmatrix} = \begin{bmatrix} 11\frac{L}{8} - 40\frac{du}{dx}|_i \\ 11\frac{3L}{8} \\ 11\frac{3L}{8} \\ 11\frac{L}{8} + 40\frac{du}{dx}|_l \end{bmatrix} \quad (5)$$

Локальные матрицу жесткости и вектор нагрузок из уравнения 5 с помощью матричных преобразований приведем к следующему виду:

$$\begin{bmatrix} a_{11} & 0 & 0 & a_{14} \\ a_{21} & a_{22} & 0 & a_{24} \\ a_{31} & 0 & a_{33} & a_{34} \\ a_{41} & 0 & 0 & a_{44} \end{bmatrix} \begin{bmatrix} u_i \\ u_j \\ u_k \\ u_l \end{bmatrix} = \begin{bmatrix} b_1 - 40\frac{du}{dx}|_i \\ b_2 \\ b_3 \\ b_4 + 40\frac{du}{dx}|_l \end{bmatrix}$$

Для упрощения расчетов преобразуем систему выше, исключив внутренние узлы. Таким образом СЛАУ (математическая модель кубического КЭ):

$$\begin{bmatrix} a_{11} & a_{14} \\ a_{41} & a_{44} \end{bmatrix} \begin{bmatrix} u_i \\ u_l \end{bmatrix} = \begin{bmatrix} b_1 - 40\frac{du}{dx}|_i \\ b_4 + 40\frac{du}{dx}|_l \end{bmatrix}$$

5 Получение глобальных матрицы жесткости и вектора нагрузок

Проведем процедуры ансамблирования и учет граничных условий для формирования итоговой математической модели.

Ансамблирование

Пусть локальные матрица жесткости и вектор неизвестных заданы следующим образом

$$\begin{bmatrix} a_{11} & a_{12} \\ a_{21} & a_{22} \end{bmatrix} \begin{bmatrix} u_i \\ u_j \end{bmatrix} = \begin{bmatrix} b_1 - 40\frac{du}{dx}|_i \\ b_2 + 40\frac{du}{dx}|_l \end{bmatrix},$$

тогда, при разбиение области на n КЭ, глобальная матрица жесткости будет иметь размерность $(n+1) \cdot (n+1)$:

$$\begin{bmatrix} a_{11}^1 & a_{12}^1 & 0 & \dots & 0 & 0 & 0 & 0 \\ a_{21}^1 & a_{22}^1 + a_{11}^2 & a_{12}^2 & 0 & \dots & 0 & 0 & 0 \\ 0 & a_{21}^2 & a_{22}^2 + a_{11}^3 & a_{12}^3 & 0 & \dots & 0 & 0 \\ 0 & 0 & a_{21}^3 & a_{22}^3 + \dots & & & 0 & 0 \\ \vdots & \vdots & \vdots & \vdots & & & \vdots & \vdots \\ 0 & 0 & 0 & 0 & 0 & 0 & \dots + a_{11}^n & a_{12}^n \\ 0 & 0 & 0 & 0 & 0 & 0 & a_{21}^n & a_{22}^n \end{bmatrix} \begin{bmatrix} u_0 \\ u_1 \\ u_2 \\ u_3 \\ \vdots \\ u_{n-1} \\ u_n \end{bmatrix} = \begin{bmatrix} b_1^1 - 40 \frac{du}{dx} \Big|_0 \\ b_2^1 + b_1^2 \\ b_2^2 + b_1^3 \\ b_2^3 + b_1^4 \\ \vdots \\ b_2^{n-1} + b_1^n \\ b_2^n + 40 \frac{du}{dx} \Big|_L \end{bmatrix}$$

Учет граничных условий

Применим граничные условия первого (см. [3](#)) и второго рода (см. [2](#)) к выведенной выше системе.

$$\begin{bmatrix} 1 & 0 & 0 & \dots & 0 & 0 & 0 & 0 \\ a_{21}^1 & a_{22}^1 + a_{11}^2 & a_{12}^2 & 0 & \dots & 0 & 0 & 0 \\ 0 & a_{21}^2 & a_{22}^2 + a_{11}^3 & a_{12}^3 & 0 & \dots & 0 & 0 \\ 0 & 0 & a_{21}^3 & a_{22}^3 + \dots & & & 0 & 0 \\ \vdots & \vdots & \vdots & \vdots & & & \vdots & \vdots \\ 0 & 0 & 0 & 0 & 0 & 0 & \dots + a_{11}^n & a_{12}^n \\ 0 & 0 & 0 & 0 & 0 & 0 & 0 & 1 \end{bmatrix} \begin{bmatrix} u_0 \\ u_1 \\ u_2 \\ u_3 \\ \vdots \\ u_{n-1} \\ u_n \end{bmatrix} = \begin{bmatrix} b_1^1 - 40 \cdot -2 \\ b_2^1 + b_1^2 \\ b_2^2 + b_1^3 \\ b_2^3 + b_1^4 \\ \vdots \\ b_2^{n-1} + b_1^n \\ 6 \end{bmatrix}$$

6 Анализ результатов

Проведем сравнение результатов согласно заданию.

Линейная функция-формы

На рисунках [2](#), [3](#) представлены графики полученные с помощью МКЭ (линейная функция-формы).

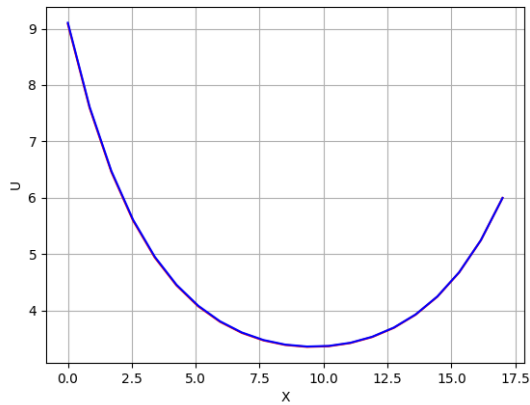


Рис. 2. Результат работы программы для 20
КЭ

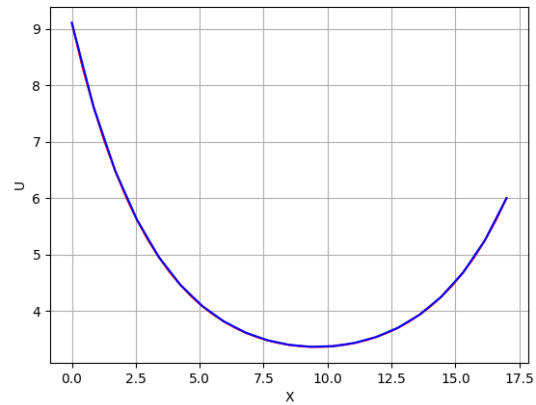


Рис. 3. Результат работы программы для 40
КЭ

X	Аналитическое решение	МКЭ- решение	Абсолютная погрешность
0.000000e+00	9.104359e+00	9.084927e+00	1.943122e-02
8.500000e-01	7.614750e+00	7.595846e+00	1.890471e-02
1.700000e+00	6.478742e+00	6.461144e+00	1.759803e-02
2.550000e+00	5.613760e+00	5.597840e+00	1.592067e-02
3.400000e+00	4.956934e+00	4.942800e+00	1.413447e-02
4.250000e+00	4.460522e+00	4.448121e+00	1.240083e-02
5.100000e+00	4.088441e+00	4.077627e+00	1.081363e-02
5.950000e+00	3.813645e+00	3.804223e+00	9.422222e-03
6.800000e+00	3.616162e+00	3.607915e+00	8.247014e-03
7.650000e+00	3.481637e+00	3.474347e+00	7.289854e-03
8.500000e+00	3.400291e+00	3.393751e+00	6.540548e-03
9.350000e+00	3.366213e+00	3.360232e+00	5.980464e-03
1.020000e+01	3.376924e+00	3.371340e+00	5.583791e-03
1.105000e+01	3.433204e+00	3.427888e+00	5.316758e-03
1.190000e+01	3.539144e+00	3.534009e+00	5.134817e-03
1.275000e+01	3.702444e+00	3.697466e+00	4.977566e-03
1.360000e+01	3.934972e+00	3.930211e+00	4.760910e-03
1.445000e+01	4.253632e+00	4.249267e+00	4.365630e-03
1.530000e+01	4.681585e+00	4.677964e+00	3.621156e-03
1.615000e+01	5.249937e+00	5.247654e+00	2.282793e-03
1.700000e+01	6.000000e+00	6.000000e+00	3.552714e-15

Таблица 1. 20 линейных КЭ

X	Аналитическое решение	МКЭ- решение	Абсолютная погрешность
0.000000e+00	9.104359e+00	9.099485e+00	4.873804e-03
4.250000e-01	8.309272e+00	8.304435e+00	4.836518e-03
8.500000e-01	7.614750e+00	7.610015e+00	4.734889e-03
1.275000e+00	7.008231e+00	7.003645e+00	4.586061e-03
1.700000e+00	6.478742e+00	6.474338e+00	4.403917e-03
2.125000e+00	6.016704e+00	6.012504e+00	4.199632e-03
2.550000e+00	5.613760e+00	5.609778e+00	3.982134e-03
2.975000e+00	5.262621e+00	5.258863e+00	3.758498e-03
3.400000e+00	4.956934e+00	4.953400e+00	3.534271e-03
3.825000e+00	4.691171e+00	4.687857e+00	3.313746e-03
4.250000e+00	4.460522e+00	4.457422e+00	3.100194e-03
4.675000e+00	4.260816e+00	4.257920e+00	2.896049e-03
5.100000e+00	4.088441e+00	4.085738e+00	2.703073e-03
5.525000e+00	3.940277e+00	3.937755e+00	2.522482e-03
5.950000e+00	3.813645e+00	3.811290e+00	2.355054e-03
6.375000e+00	3.706254e+00	3.704053e+00	2.201217e-03
6.800000e+00	3.616162e+00	3.614101e+00	2.061120e-03
7.225000e+00	3.541738e+00	3.539803e+00	1.934687e-03
7.650000e+00	3.481637e+00	3.479815e+00	1.821662e-03
8.075000e+00	3.434770e+00	3.433049e+00	1.721640e-03
8.500000e+00	3.400291e+00	3.398657e+00	1.634091e-03
8.925000e+00	3.377576e+00	3.376017e+00	1.558371e-03
9.350000e+00	3.366213e+00	3.364719e+00	1.493728e-03
9.775000e+00	3.365997e+00	3.364558e+00	1.439303e-03
1.020000e+01	3.376924e+00	3.375530e+00	1.394115e-03
1.062500e+01	3.399192e+00	3.397835e+00	1.357047e-03
1.105000e+01	3.433204e+00	3.431878e+00	1.326818e-03
1.147500e+01	3.479575e+00	3.478273e+00	1.301952e-03
1.190000e+01	3.539144e+00	3.537863e+00	1.280730e-03
1.232500e+01	3.612988e+00	3.611727e+00	1.261139e-03
1.275000e+01	3.702444e+00	3.701203e+00	1.240806e-03
1.317500e+01	3.809128e+00	3.807911e+00	1.216917e-03
1.360000e+01	3.934972e+00	3.933786e+00	1.186123e-03
1.402500e+01	4.082252e+00	4.081108e+00	1.144426e-03
1.445000e+01	4.253632e+00	4.252545e+00	1.087045e-03
1.487500e+01	4.452212e+00	4.451204e+00	1.008255e-03
1.530000e+01	4.681585e+00	4.680684e+00	9.012001e-04
1.572500e+01	4.945900e+00	4.945142e+00	7.576716e-04
1.615000e+01	5.249937e+00	5.249369e+00	5.678435e-04
1.657500e+01	5.599198e+00	5.598878e+00	3.199657e-04
1.700000e+01	6.000000e+00	6.000000e+00	3.552714e-15

Таблица 2. 40 линейных КЭ

Максимальная абсолютная погрешность $1.943122\text{e-}02$ и $4.873804\text{e-}03$ соответственно.

Кубическая функция-формы

На рисунках 4, 5 представлены графики полученные с помощью МКЭ (кубическая функция-формы).

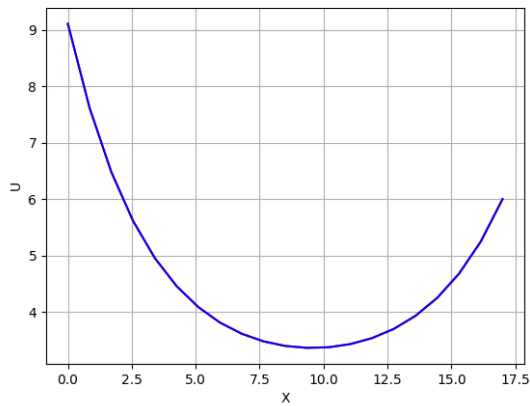


Рис. 4. Результат работы программы для 20
КЭ

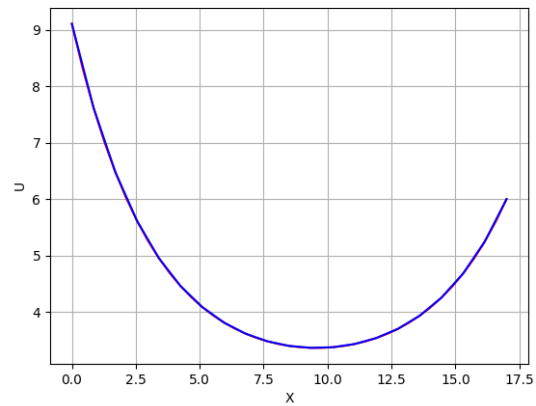


Рис. 5. Результат работы программы для 40
КЭ

X	Аналитическое решение	МКЭ- решение	Абсолютная погрешность
0.000000e+00	9.104359e+00	9.104359e+00	1.202399e-08
8.500000e-01	7.614750e+00	7.614750e+00	1.170358e-08
1.700000e+00	6.478742e+00	6.478742e+00	1.089952e-08
2.550000e+00	5.613760e+00	5.613760e+00	9.864972e-09
3.400000e+00	4.956934e+00	4.956934e+00	8.761987e-09
4.250000e+00	4.460522e+00	4.460522e+00	7.690551e-09
5.100000e+00	4.088441e+00	4.088441e+00	6.708945e-09
5.950000e+00	3.813645e+00	3.813645e+00	5.847870e-09
6.800000e+00	3.616162e+00	3.616162e+00	5.120112e-09
7.650000e+00	3.481637e+00	3.481637e+00	4.526946e-09
8.500000e+00	3.400291e+00	3.400291e+00	4.062154e-09
9.350000e+00	3.366213e+00	3.366213e+00	3.714261e-09
1.020000e+01	3.376924e+00	3.376924e+00	3.467327e-09
1.105000e+01	3.433204e+00	3.433204e+00	3.300460e-09
1.190000e+01	3.539144e+00	3.539144e+00	3.186104e-09
1.275000e+01	3.702444e+00	3.702444e+00	3.086887e-09
1.360000e+01	3.934972e+00	3.934972e+00	2.950809e-09
1.445000e+01	4.253632e+00	4.253632e+00	2.704194e-09
1.530000e+01	4.681585e+00	4.681585e+00	2.241705e-09
1.615000e+01	5.249937e+00	5.249937e+00	1.412366e-09
1.700000e+01	6.000000e+00	6.000000e+00	3.552714e-15

Таблица 3. 20 кубических КЭ

X	Аналитическое решение	МКЭ- решение	Абсолютная погрешность
0.000000e+00	9.104359e+00	9.104359e+00	1.889155e-10
4.250000e-01	8.309272e+00	8.309272e+00	1.874785e-10
8.500000e-01	7.614750e+00	7.614750e+00	1.835501e-10
1.275000e+00	7.008231e+00	7.008231e+00	1.777849e-10
1.700000e+00	6.478742e+00	6.478742e+00	1.707336e-10
2.125000e+00	6.016704e+00	6.016704e+00	1.628164e-10
2.550000e+00	5.613760e+00	5.613760e+00	1.543858e-10
2.975000e+00	5.262621e+00	5.262621e+00	1.457208e-10
3.400000e+00	4.956934e+00	4.956934e+00	1.370282e-10
3.825000e+00	4.691171e+00	4.691171e+00	1.284830e-10
4.250000e+00	4.460522e+00	4.460522e+00	1.202016e-10
4.675000e+00	4.260816e+00	4.260816e+00	1.122844e-10
5.100000e+00	4.088441e+00	4.088441e+00	1.048059e-10
5.525000e+00	3.940277e+00	3.940277e+00	9.780088e-11
5.950000e+00	3.813645e+00	3.813645e+00	9.130963e-11
6.375000e+00	3.706254e+00	3.706254e+00	8.534018e-11
6.800000e+00	3.616162e+00	3.616162e+00	7.990630e-11
7.225000e+00	3.541738e+00	3.541738e+00	7.500534e-11
7.650000e+00	3.481637e+00	3.481637e+00	7.061729e-11
8.075000e+00	3.434770e+00	3.434770e+00	6.674217e-11
8.500000e+00	3.400291e+00	3.400291e+00	6.334178e-11
8.925000e+00	3.377576e+00	3.377576e+00	6.040324e-11
9.350000e+00	3.366213e+00	3.366213e+00	5.789635e-11
9.775000e+00	3.365997e+00	3.365997e+00	5.578071e-11
1.020000e+01	3.376924e+00	3.376924e+00	5.403056e-11
1.062500e+01	3.399192e+00	3.399192e+00	5.258771e-11
1.105000e+01	3.433204e+00	3.433204e+00	5.141176e-11
1.147500e+01	3.479575e+00	3.479575e+00	5.044809e-11
1.190000e+01	3.539144e+00	3.539144e+00	4.961986e-11
1.232500e+01	3.612988e+00	3.612988e+00	4.886314e-11
1.275000e+01	3.702444e+00	3.702444e+00	4.806999e-11
1.317500e+01	3.809128e+00	3.809128e+00	4.714229e-11
1.360000e+01	3.934972e+00	3.934972e+00	4.595302e-11
1.402500e+01	4.082252e+00	4.082252e+00	4.433254e-11
1.445000e+01	4.253632e+00	4.253632e+00	4.211387e-11
1.487500e+01	4.452212e+00	4.452212e+00	3.905765e-11
1.530000e+01	4.681585e+00	4.681585e+00	3.490452e-11
1.572500e+01	4.945900e+00	4.945900e+00	2.934897e-11
1.615000e+01	5.249937e+00	5.249937e+00	2.199130e-11
1.657500e+01	5.599198e+00	5.599198e+00	1.239275e-11
1.700000e+01	6.000000e+00	6.000000e+00	3.552714e-15

Таблица 4. 40 кубических КЭ

Максимальная абсолютная погрешность $1.202399\text{e-}08$ и $1.889155\text{e-}10$ соответственно.

Нахождение количества линейных КЭ, обеспечивающих ту же точность, что и 20 кубических

Так как очевидно, что при увлечении числа КЭ точность растет, найдем искомое следуя алгоритму, представленному на рисунке 6.

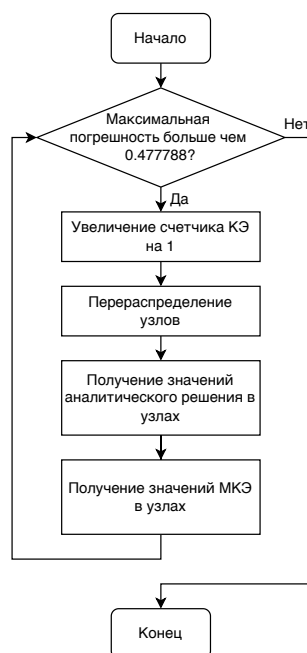


Рис. 6. Алгоритм нахождения количества КЭ, заданную точность

Реализовав данный алгоритм с начальным количеством КЭ=20 и увеличивая счетчик всегда на 1 получаем необходимое количество КЭ, равное 25526 КЭ.

7 Код

Листинг 1. Реализация МКЭ

```

1
2 #include <iostream>
3 #include <vector>
4 #include <cmath>
5
6 double EPS = 1e-16;
7 double X_BEGIN = 0.0;
8 double X_END = 17.0;
9 size_t ELEM_NUM = 20;
  
```

```

10 double L = (X_END - X_BEGIN) / ELEMS_NUM;
11
12 double a = 40.0, B = 0.0, C = -4.0, D = 11.0, usl_left = -2.0, usl_right = 6.0; //
    au''+Bu'+Cu+D=0
13
14 std::vector<double> solve_with_gauss(std::vector<std::vector<double>>& A,
    std::vector<double>& b){
15     size_t row_size = A.size();
16     size_t col_size = A.back().size();
17
18     // Прямой ход Гаусса
19     double pivot = 0.;
20     for (size_t i = 0; i < row_size; i++) {
21         for (size_t j = i + 1; j < col_size; j++) {
22             if (std::abs(A.at(j).at(i)) < EPS) {
23                 continue;
24             }
25             pivot = A.at(j).at(i) / A.at(i).at(i);
26             b.at(j) -= pivot * b.at(i);
27             for (size_t k = 0; k < row_size; k++) {
28                 A.at(j).at(k) -= pivot * A.at(i).at(k) ;
29             }
30         }
31     }
32
33     // Обратный ход Гаусса
34     std::vector<double> x(row_size);
35     for (int i = row_size - 1; i >= 0; i--) {
36         x.at(i) = b.at(i);
37         for (size_t j = i + 1; j < row_size; j++) {
38             x.at(i) -= x.at(j) * A.at(i).at(j);
39         }
40         x.at(i) /= A.at(i).at(i);
41     }
42
43     return x;
44 }
45
46 double analytical_solution(double x) {
47     return (exp(-x/sqrt(10)) * (-8 * sqrt(10) * exp(sqrt(0.4) * x) + 11 * exp(x/sqrt(10))
        + 11 * exp((x + 34.)/sqrt(10)) + 13 * exp((2. * x + 17)/sqrt(10)) + 8 * sqrt(10) *
        exp(17. * sqrt(0.4)) + 13. * exp(17./sqrt(10))))/(4. * (1. + exp(17. * sqrt(0.4))));
48 }
49
50 std::vector<double> build_analytical_solution(std::vector<double>& x_vec) {
51     size_t x_vec_size = x_vec.size();

```

```

52     std::vector<double> y_vec = std::vector<double>(x_vec_size);
53     for (size_t i = 0; i < x_vec_size; i++) {
54         y_vec.at(i) = analytical_solution(x_vec.at(i));
55     }
56     return y_vec;
57 }
58
59 std::vector<double> build_linear_solution(size_t elems_num) {
60     double L = (X_END - X_BEGIN) / elems_num;
61     size_t size = elems_num + 1;
62     std::vector< std::vector<double> > A(size, std::vector<double>(size));
63     std::vector<double> b(size);
64
65     // Локальная матрица жесткости для линейного КЭ
66     std::vector< std::vector<double> > local_matrix = {
67         { (a / L) + (B / 2.) - C * L / 3., -(a / L) - (B / 2.) - C * L / 6.},
68         { -(a / L) + (B / 2.) - C * L / 6., (a / L) - (B / 2.) - C * L / 3.},
69     };
70
71     // Ансамблирование и получение глобальной матрицы жесткости для линейного КЭ
72     for (size_t i = 0; i < elems_num; i++) {
73         for (size_t j = 0; j < 2; j++) {
74             for (size_t k = 0; k < 2; k++) {
75                 A.at(i + j).at(i + k) += local_matrix.at(j).at(k);
76             }
77         }
78     }
79
80     for (size_t i = 0; i < size ; i++) {
81         b.at(i) = D * L;
82     }
83
84     // Учет ГУ
85     if ( 1 == 1 ) {
86         b.at(0) = D * L / 2. - a*usl_left;
87     } else {
88         b.at(0) = usl_left;
89         A.at(0).at(0) = 1;
90         A.at(0).at(1) = 0;
91     }
92
93     if ( 0 == 1 ) {
94         b.at(size - 1) = D * L / 2. + a*usl_right;
95     } else {
96         b.at(size - 1) = usl_right;
97         A.at(size - 1).at(size - 1) = 1;

```



```

98     A.at(size - 1).at(size - 2) = 0;
99 }
100
101 // Решение полученной СЛАУ методом Гаусса
102 std::vector<double> res = solve_with_gauss(A, b);
103 return res;
104 }
105
106 std::vector<double> build_cube_solution(size_t elems_num) {
107     double L = (X_END - X_BEGIN) / elems_num;
108     size_t size = elems_num + 1;
109     std::vector< std::vector<double> > A(size, std::vector<double>(size));
110     std::vector<double> b(size);
111
112     // Локальная матрица жесткости для кубического КЭ
113     std::vector< std::vector<double> > local_matrix = {
114         { a * 37./(10.*L) + B / 2. - C * 8. / 105. * L, -a * 189./(40.*L) - B * 57./80. -
          C * 33. / 560. * L, a * 27./(20.*L) + B * 3./10. + C * 3. / 140. * L, -a *
          13./(40.*L) - B * 7./80. - C * 19. / 1680. * L},
115         { -a * 189./(40.*L) + B * 57./80. - C * 33./ 560. * L, a * 54./(5.*L) + 0. - C *
          27. / 70. * L, -a * 297./(40.*L) - B * 81./80. + C * 27. / 560. * L, a *
          27./(20.*L) + B * 3./10. + C * 3. / 140. * L},
116         { a * 27./(20.*L) - B * 3./10. + C * 3. / 140. * L, -a * 297./(40.*L) + B *
          81./80. + C * 27. / 560. * L, a * 54./(5.*L) - 0. - C * 27. / 70. * L, -a *
          189./(40.*L) - B * 57./80. - C * 33. / 560. * L},
117         { -a * 13./(40.*L) + B * 7./80. - C * 19./ 1680.* L, a * 27./(20.*L) - B * 3./10.
          + C * 3. / 140. * L, -a * 189./(40.*L) + B * 57./80. - C * 33. / 560. * L, a *
          37./(10.*L) - B * 1./2. - C * 8. / 105. * L}
118     };
119
120     // Локальный вектор нагрузок (дополнительные слагаемые для первого и последнего
        элементов учитываются далее)
121     std::vector<double> local_b = { D * L / 8.0,
122                                     D * 3.0 * L / 8.0,
123                                     D * 3.0 * L / 8.0,
124                                     D * L / 8.0 };
125
126
127     // Производим матричные преобразования для обнуления элементов локальной
        матрицы жесткости, относящихся к внутренним узлам
128     for (size_t i = 1; i < 3; i++) {
129         for (size_t j = 0; j < 4; j++) {
130             if (std::fabs(local_matrix.at(j).at(i)) > EPS && i != j) {
131                 double val = local_matrix.at(j).at(i) /local_matrix.at(i).at(i);
132                 local_b.at(j) -= val * local_b.at(i);
133                 for (size_t k = 0; k < 4; k++) {

```

```

134         local_matrix.at(j).at(k) -= val * local_matrix.at(i).at(k);
135     }
136 }
137     continue;
138 }
139 }
140
141
142 // Исключаем внутренние узлы из рассмотрения
143 std::vector< std::vector<double> > local_matrix_mod = { { local_matrix.at(0).at(0),
144     local_matrix.at(0).at(3) },
145                                                         { local_matrix.at(3).at(0),
146                                                         local_matrix.at(3).at(3)
147                                                         } };
148
149 std::vector<double> local_b_mod = { local_b.at(0),
150                                     local_b.at(3)
151                                     };
152
153 // Ансамблирование и получение глобальной матрицы жесткости для кубического КЭ
154 for (size_t i = 0; i < elems_num; i++) {
155     for (size_t j = 0; j < 2; j++) {
156         for (size_t k = 0; k < 2; k++) {
157             A.at(i + j).at(i + k) += local_matrix_mod.at(j).at(k);
158         }
159     }
160 }
161
162 for (size_t i = 0; i < elems_num; i++) {
163     b.at(i) += local_b_mod.at(0);
164     b.at(i+1) += local_b_mod.at(1);
165 }
166
167 // Учет ГУ
168 if (1 == 1 ) {
169     b.at(0) = local_b_mod.at(0) - a * usl_left;
170 } else {
171     b.at(0) = usl_left;
172     A.at(0).at(0) = 1.;
173     A.at(0).at(1) = 0.;
174 }
175
176 if (0 == 1 ) {
177     b.at(size - 1) = local_b_mod.at(1) + a * usl_right;
178 } else {
179     b.at(size - 1) = usl_right;
180     A.at(size - 1).at(size - 1) = 1.;
181 }

```

```

177     A.at(size - 1).at(size - 2) = 0.;
178 }
179
180 // Решение полученной СЛАУ методом Гаусса
181 std::vector<double> res = solve_with_gauss(A, b);
182 return res;
183 }
184
185 double calc_abs_error(const std::vector<double>& y_real, const std::vector<double>&
    y) {
186     double max_err = 0.0;
187     for (size_t i = 0; i < y_real.size(); i++) {
188         double err = std::fabs(y_real.at(i) - y.at(i));
189         if (err > max_err) {
190             max_err = err;
191         }
192     }
193     return max_err;
194 }
195
196 int main() {
197
198     std::vector<double> x(ELEMS_NUM + 1);
199     for (size_t i = 0; i < x.size(); i++) {
200         x.at(i) = X_BEGIN + i * L;
201     }
202     size_t x_size = x.size();
203
204     std::vector<double> y;
205     if (true) {
206         y = build_linear_solution(ELEMS_NUM);
207     } else {
208         y = build_cube_solution(ELEMS_NUM);
209     }
210     std::vector<double> y_real = build_analytical_solution(x);
211
212
213     FILE* gp;
214     FILE* ab;
215     FILE* pgr;
216     FILE* tab;
217     if (true) {
218         if (ELEMS_NUM == 20) {
219             gp = fopen("res/labs/text/graph/lin_20.txt", "w");
220             ab = fopen("res/labs/text/graph/abs.txt", "w");
221             for (size_t i = 0; i < x_size; i++) {

```

```

222         fprintf(ab, "%lf %lf\n", x.at(i), y_real.at(i));
223     }
224     pgr = fopen("res/labs/text/pgr/lin_20.txt", "w");
225     tab = fopen("res/labs/text/tab/lin_20.txt", "w");
226 }
227 if(ELEMS_NUM == 40) {
228     gp = fopen("res/labs/text/graph/lin_40.txt", "w");
229     pgr = fopen("res/labs/text/pgr/lin_40.txt", "w");
230     tab = fopen("res/labs/text/tab/lin_40.txt", "w");
231 }
232 } else {
233     if(ELEMS_NUM == 20) {
234         gp = fopen("res/labs/text/graph/cub_20.txt", "w");
235         pgr = fopen("res/labs/text/pgr/cub_20.txt", "w");
236         tab = fopen("res/labs/text/tab/cub_20.txt", "w");
237     }
238     if(ELEMS_NUM == 40) {
239         gp = fopen("res/labs/text/graph/cub_40.txt", "w");
240         pgr = fopen("res/labs/text/pgr/cub_40.txt", "w");
241         tab = fopen("res/labs/text/tab/cub_40.txt", "w");
242     }
243 }
244
245 for (size_t i = 0; i < x.size()-1; i++) {
246     fprintf(tab, "%le & %le & %le & %le \\\n", x.at(i), y_real.at(i), y.at(i),
247         std::fabs(y_real.at(i) - y.at(i)));
248 }
249 fprintf(tab, "%le & %le & %le & %le", x.at(x.size()-1), y_real.at(x.size()-1),
250     y.at(x.size()-1), std::fabs(y_real.at(x.size()-1) - y.at(x.size()-1)));
251
252 for (size_t i = 0; i < x_size; i++) {
253     fprintf(gp, "%lf %lf\n", x.at(i), y.at(i));
254 }
255
256 fprintf(pgr, "%e", calc_abs_error(y_real, y));
257 fclose(gp);
258 fclose(ab);
259 fclose(pgr);
260 fclose(tab);
261
262 return 0;
263 }

```

8 Вывод

В ходе выполнения лабораторной работы был реализован МКЭ для различных функций форм, а также найдено количество линейных КЭ обеспечивающих точность 20ти кубических КЭ.

Постановка: © доцент кафедры РК-6, кандидат технических наук, доцент, Трудношин В.А.

Решение и вёрстка: © студент группы РК6-736, Гаспарян Г.А.

2022, осенний семестр